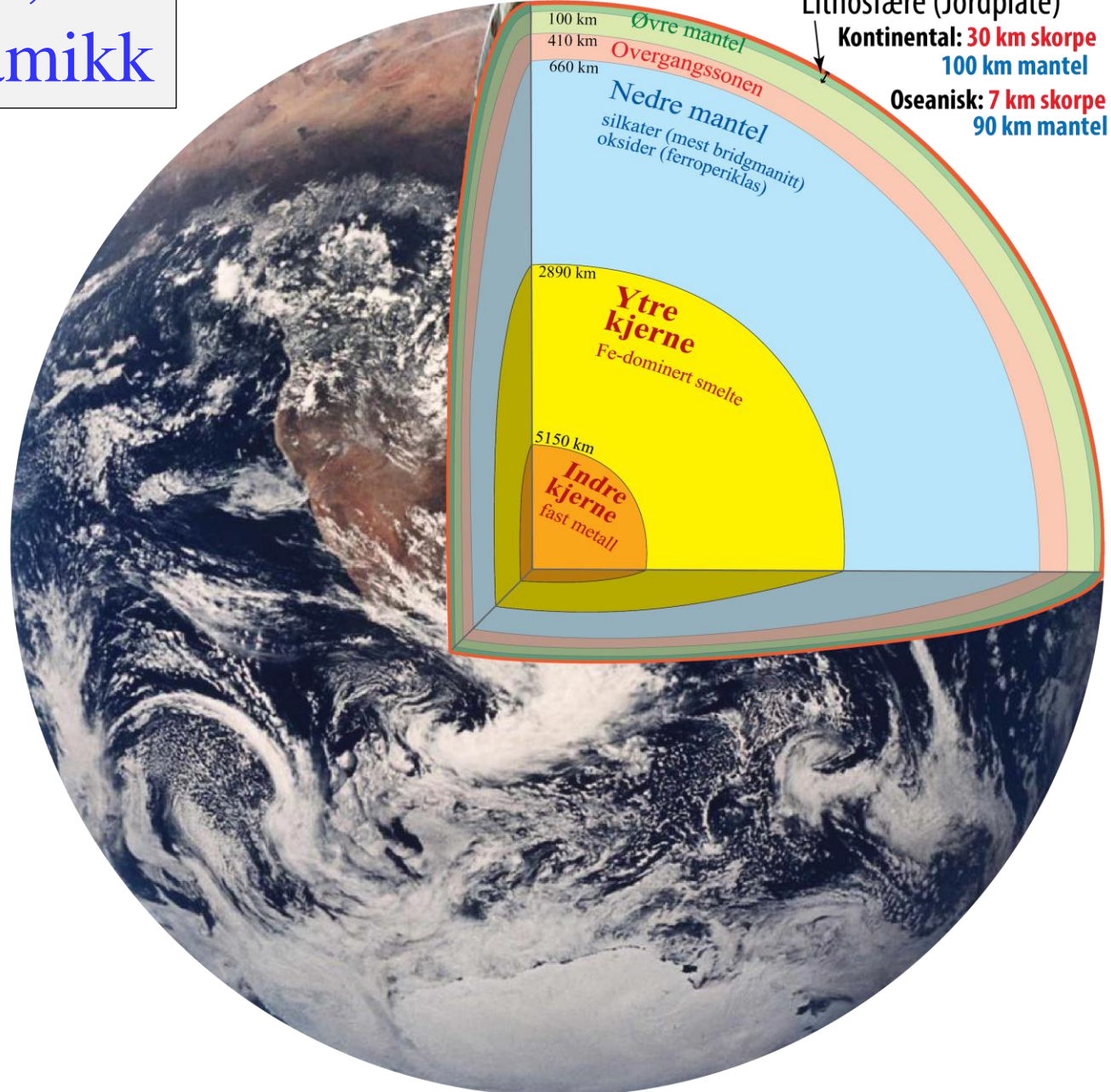


Jordas materialer, struktur og dynamikk



Jordas sammensetnnig

(bulk Jord, mantel, kjerne)

Planetære materialer

- mantel-prøver and basalts
- differensierte meteroritter (inkl. Måne, Mars og Vesta meteoritter)

Cosmochemistry

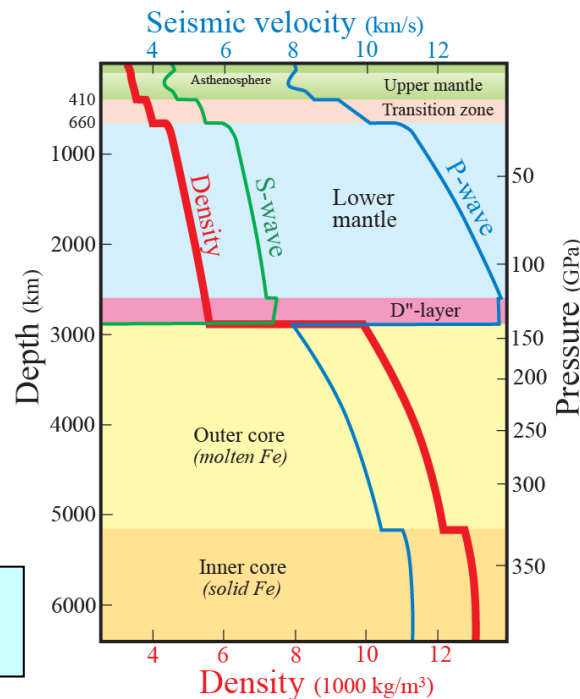
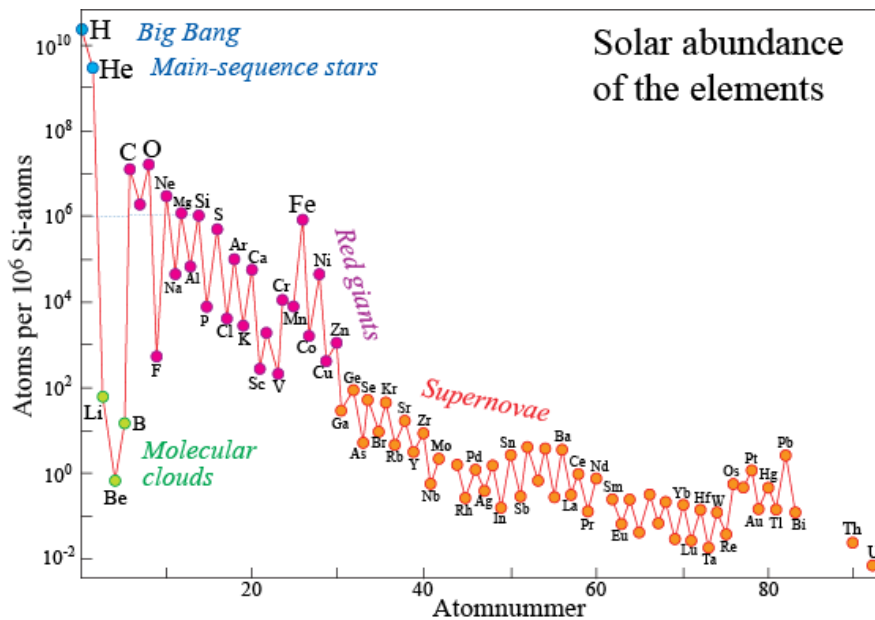
- Solas fotosfære
- primitive meteoritter

*Eksperimentell
geokjemi*

**Jordas struktur
og mineralogi**

*Eksperimentell
mineralfysikk*

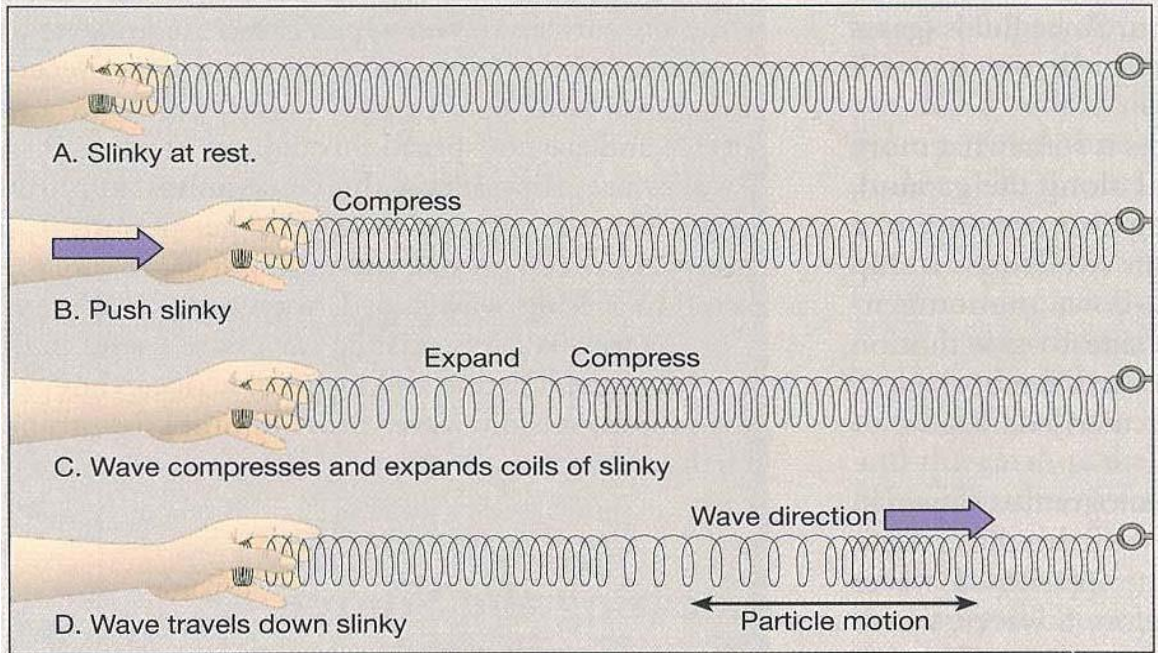
Seismologi



Solar abundance
of the elements

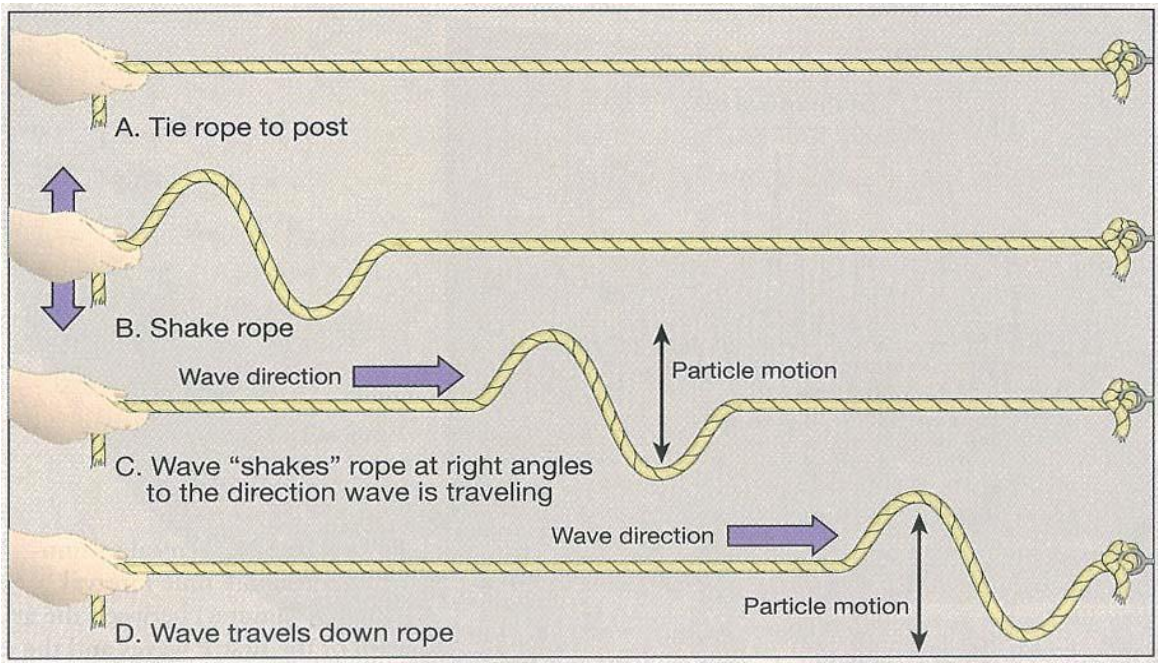
P-bølger

Trykkbølger, pressure waves
Eksempel: lydbølger i luft

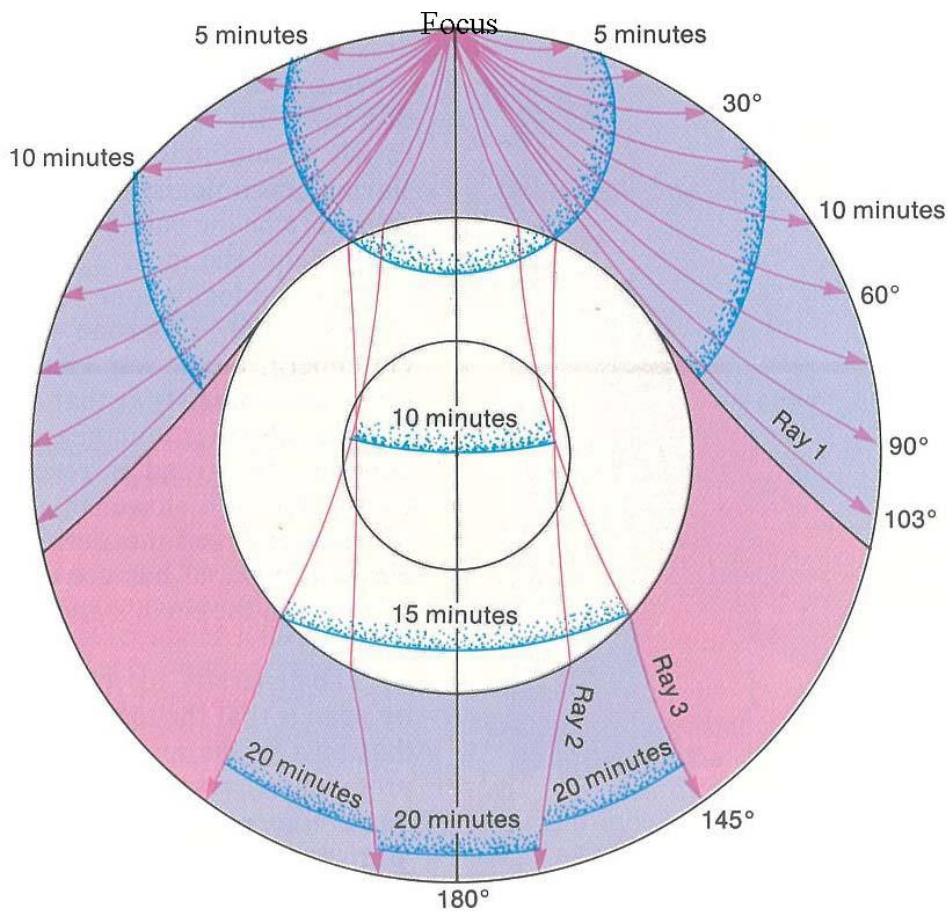


S-bølger

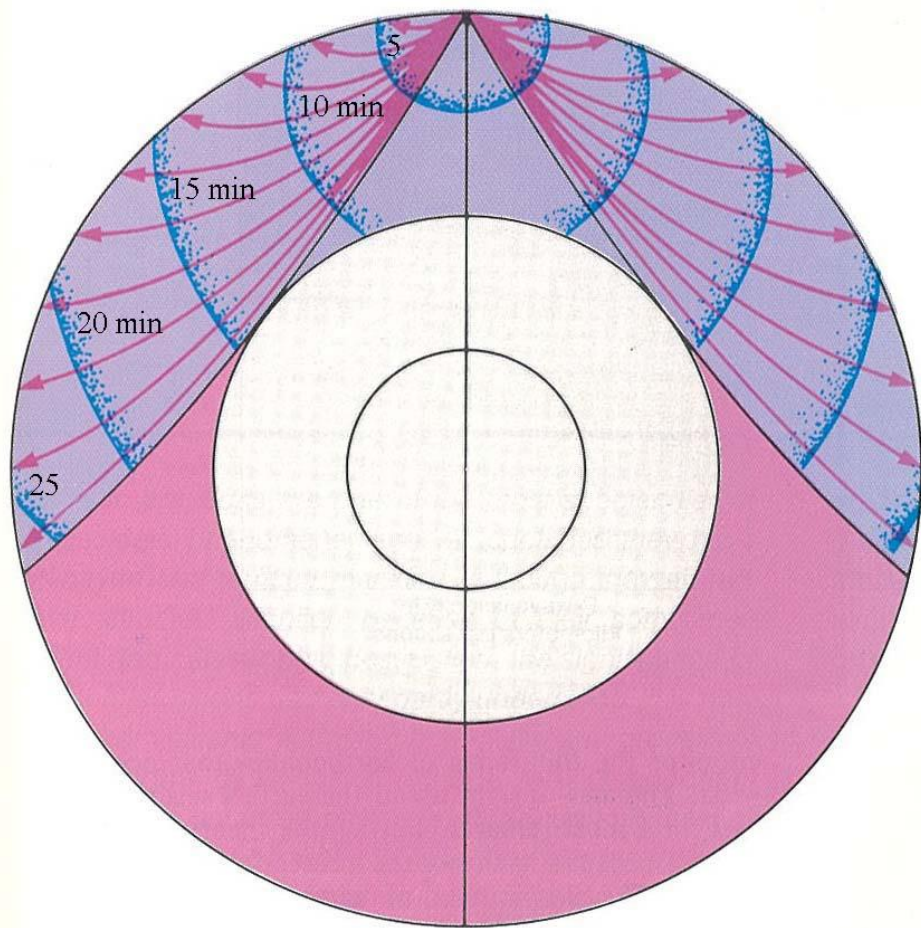
Skjær bølger, shear waves

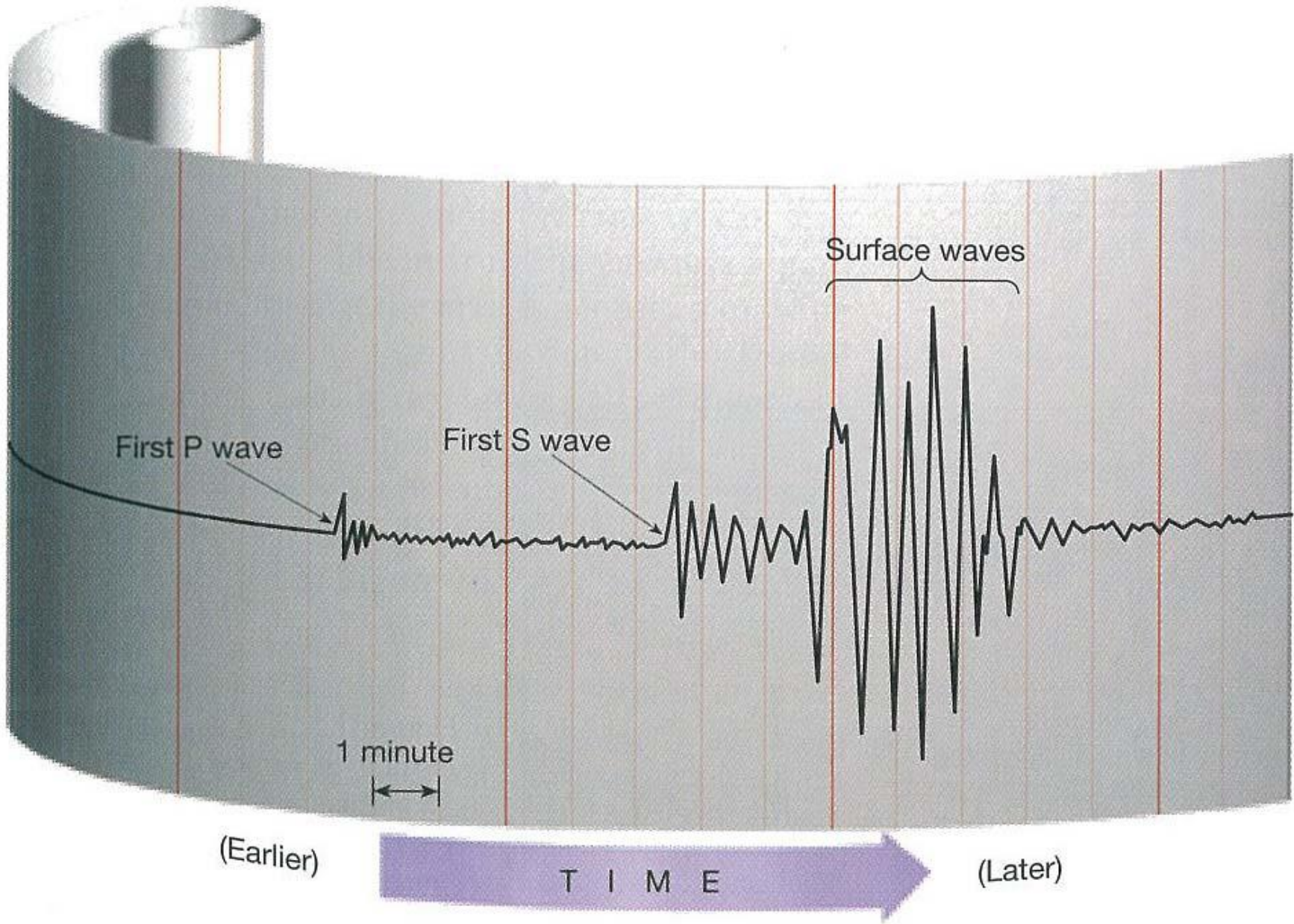


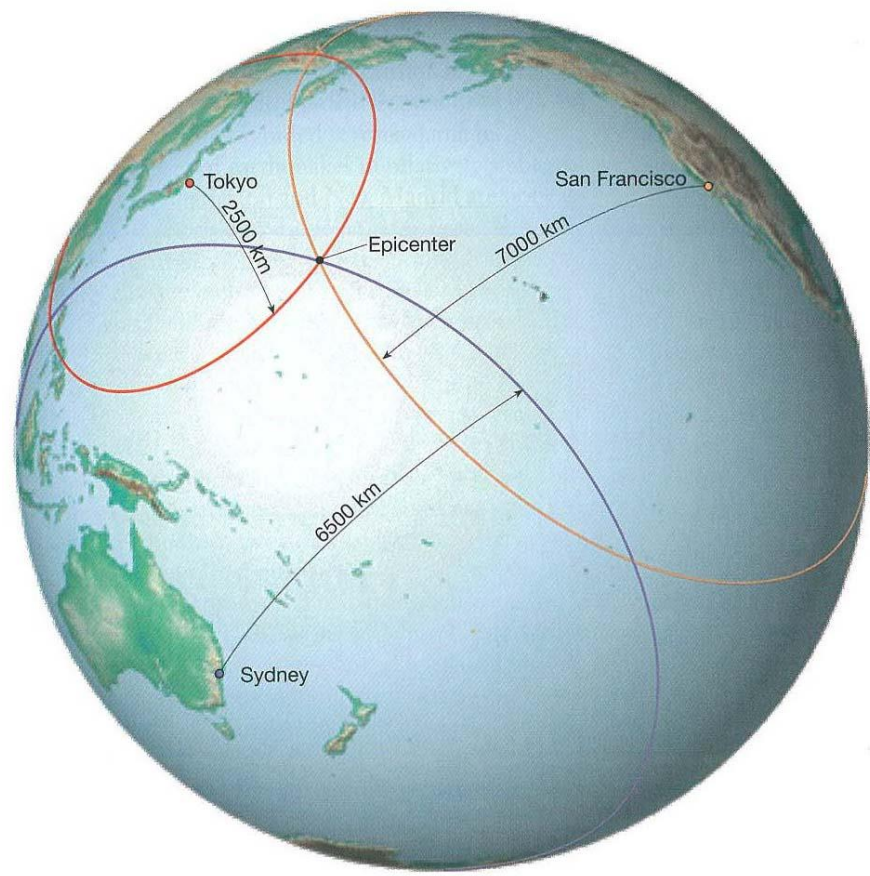
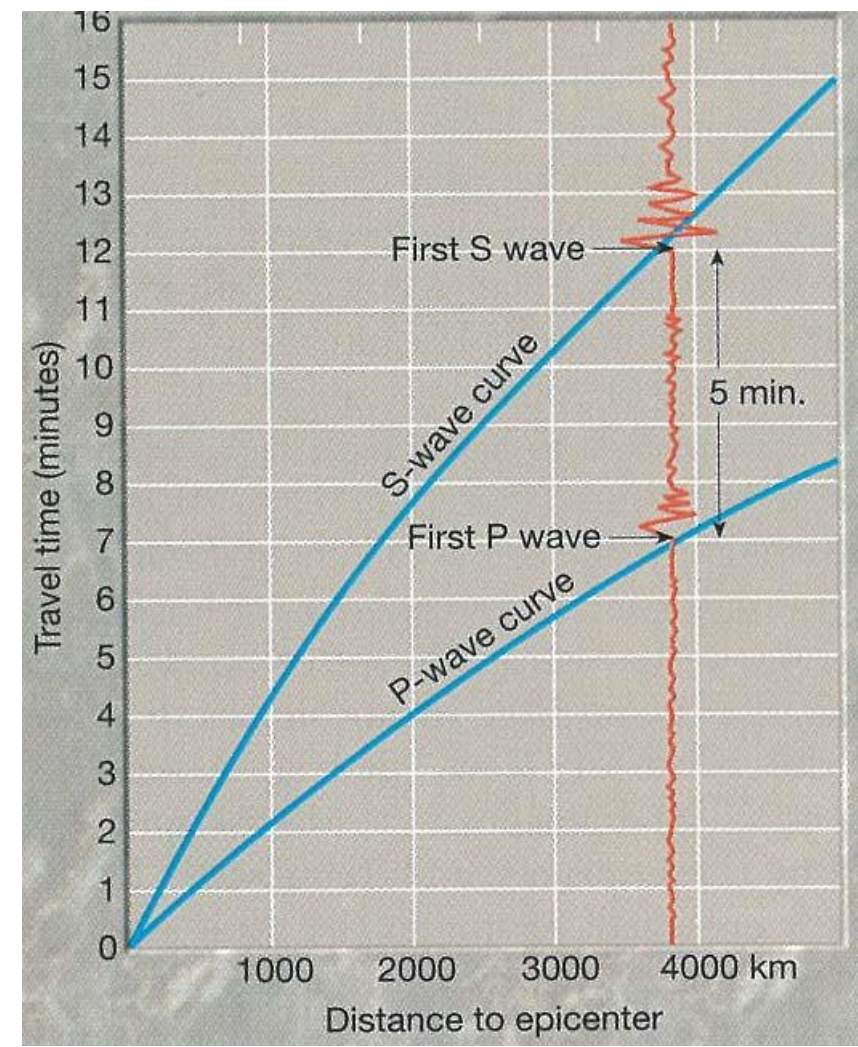
P-wave



S-wave

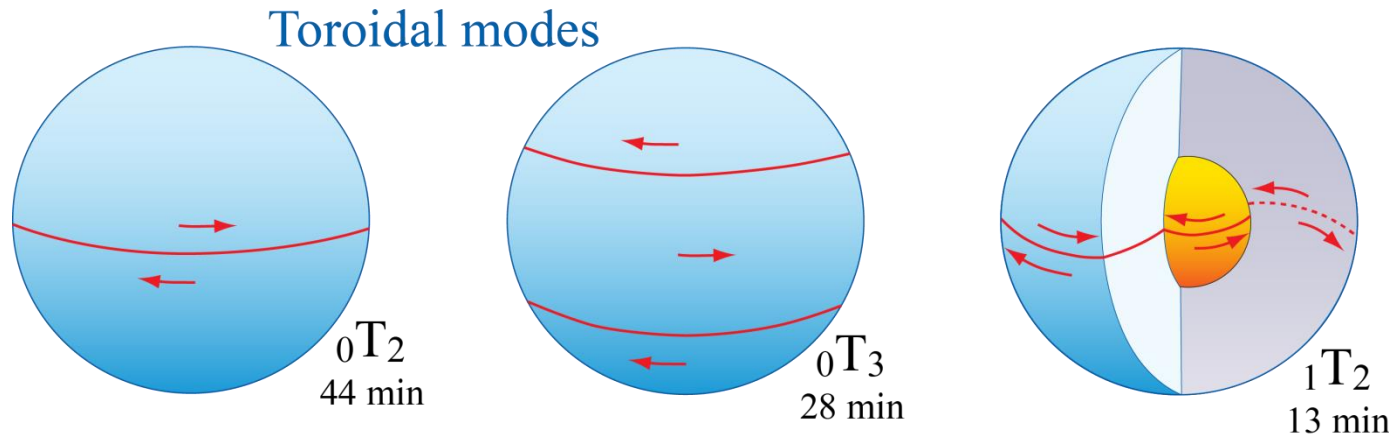
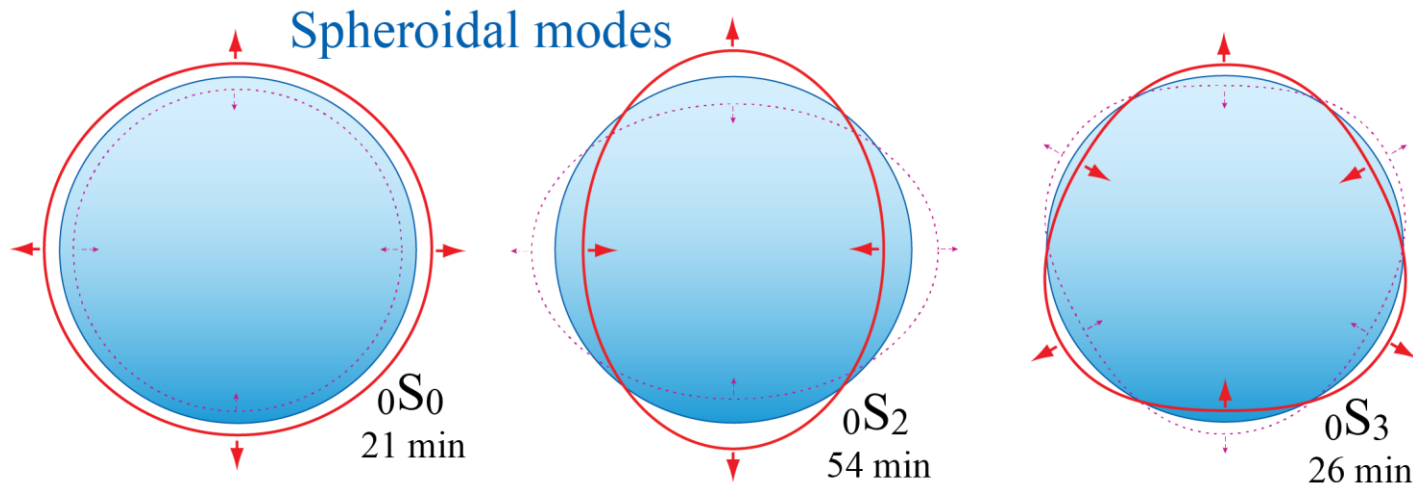






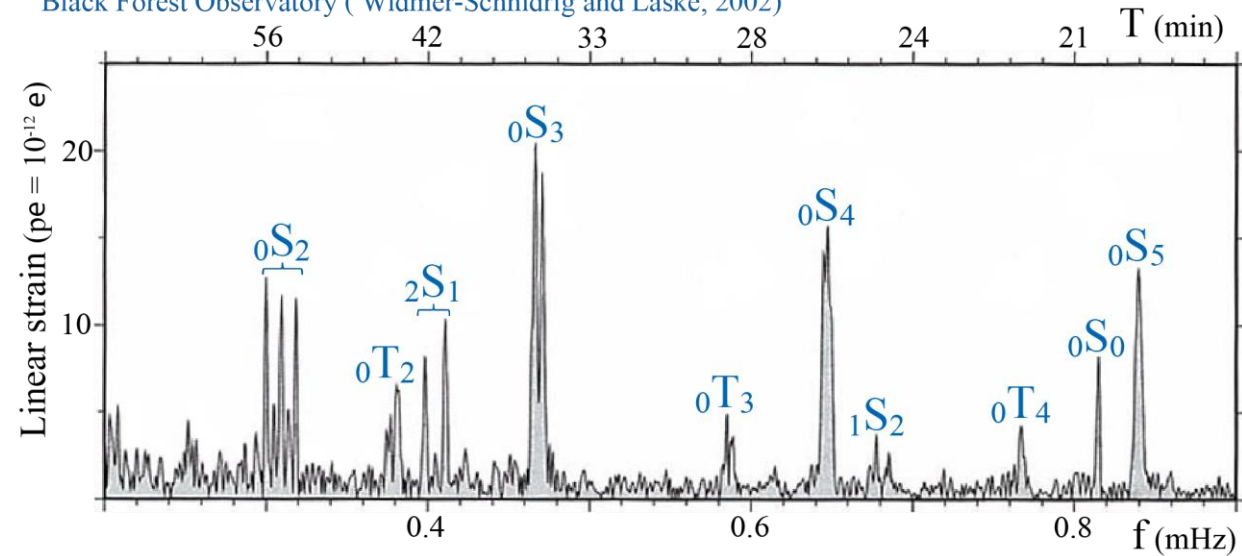
inger (normal modes)

Globale, lav-frekvente vibratsjoner av **hele Jorda**



Normal mode spectrum, 2004 Sumatra-Andaman EQ.

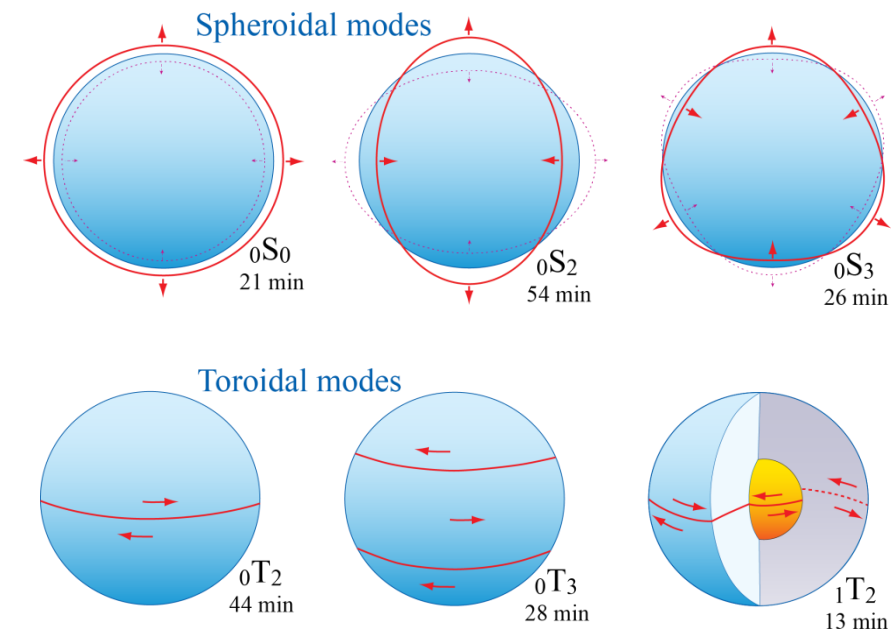
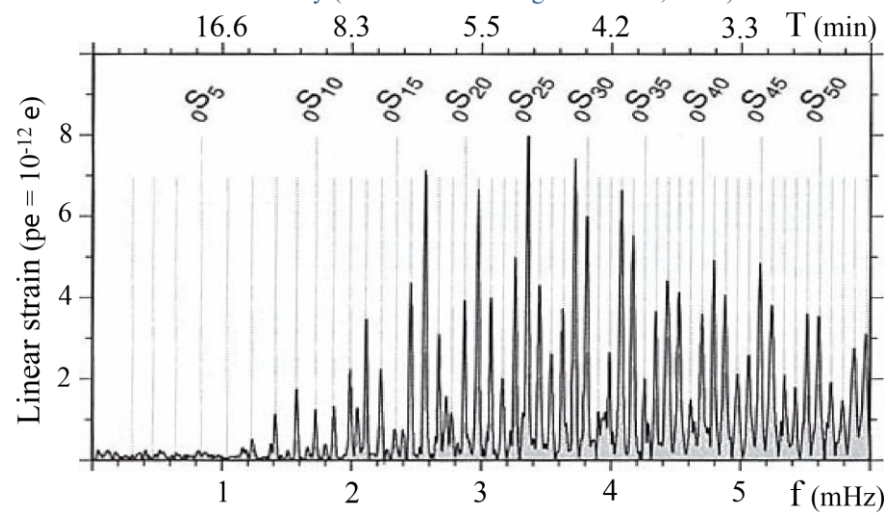
Black Forest Observatory (Widmer-Schnidrig and Laske, 2002)



$$1 \text{ mHz} = \\ 1\text{cycle} / 17\text{min}$$

Normal mode spectrum, Ms-6.7 EQ south of Australia.

Black Forest Observatory (Widmer-Schnidrig and Laske, 2002)



Seismiske hastigheter \leftrightarrow mineralfysiske egenskaper

Trykkstivhet (bulk modulus): K

Skjærstivhet (skjær-modulus): G

$$G/\rho = v_s^2$$

$$K/\rho = v_p^2 - 4/3v_s^2 = v_\Phi^2$$

v_Φ : "bulk lydhastighet", "bulk sound velocity"

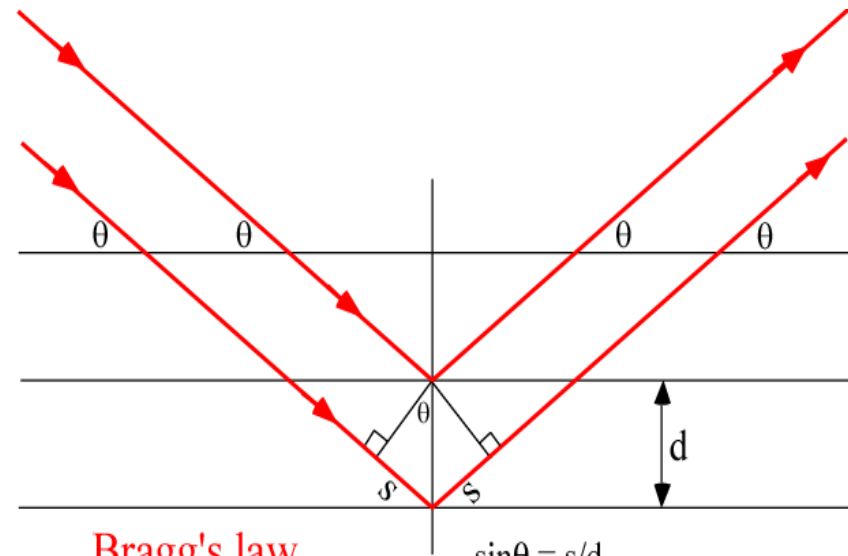
$$v_s^2 = G/\rho$$

$$v_p^2 = (K + 4/3*G)/\rho$$

Vi kan enkelt

bestemme enhetscellens V
og tetthet (ρ) som funksjon
av trykket (p)

Røntgendiffraksjon av mineralene
under høyt trykk ved hjelp av høy-
intensitets synkrotron-stråling



Bragg's law

Positive interference:

$$2s = n\lambda$$

$$2d \sin\theta = n\lambda$$

$$\sin\theta = s/d$$

$$s = d \sin\theta$$

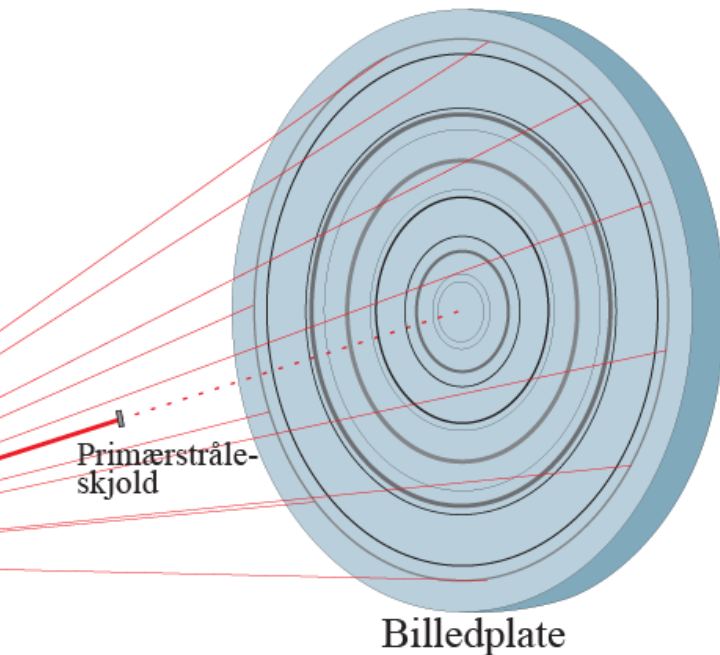
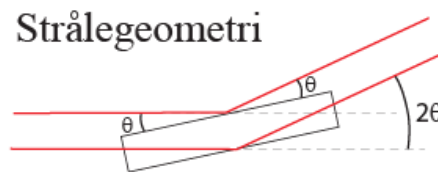
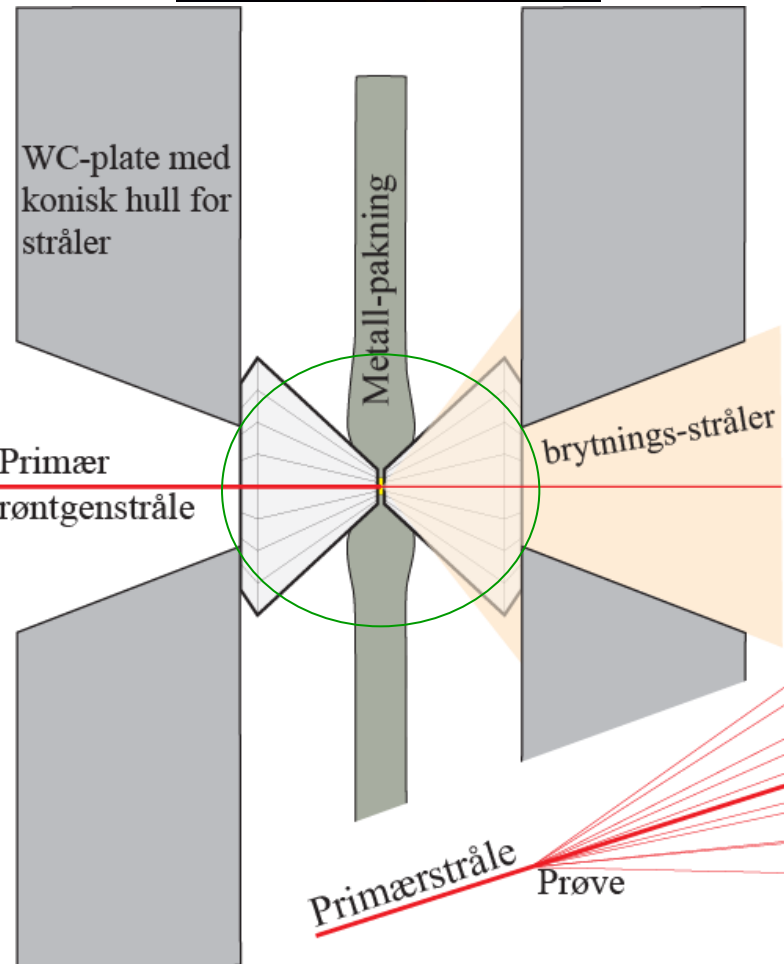
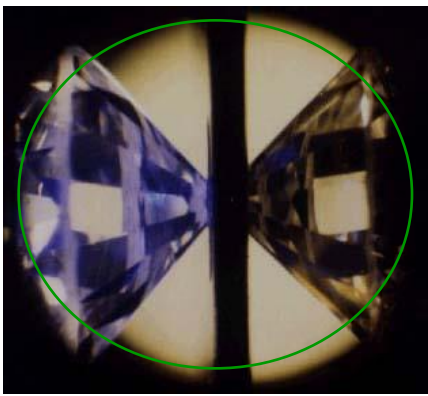
Diamantcellen



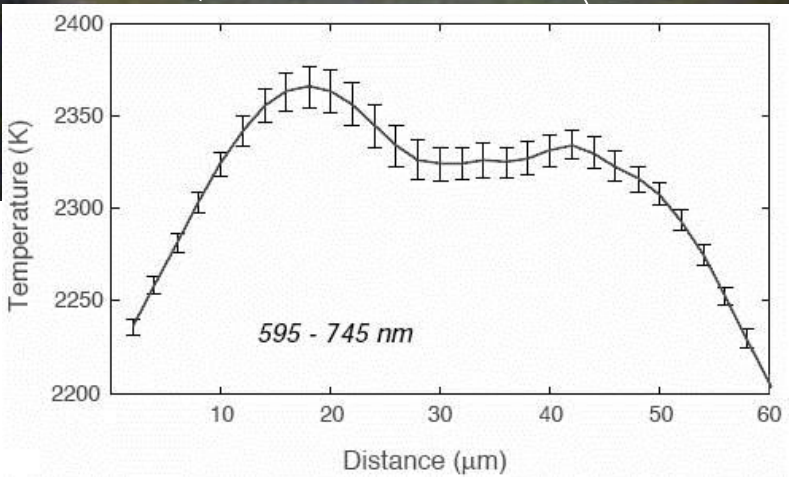
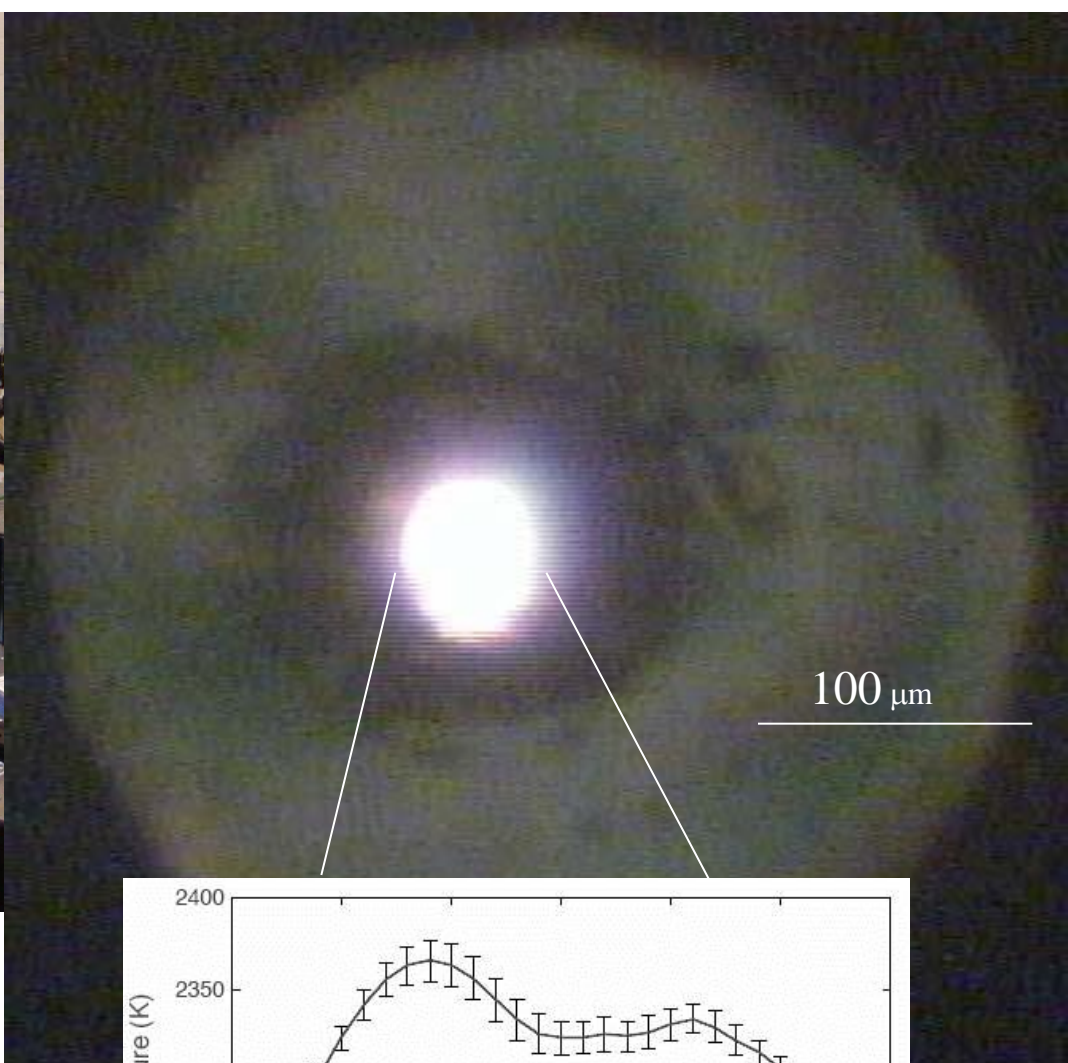
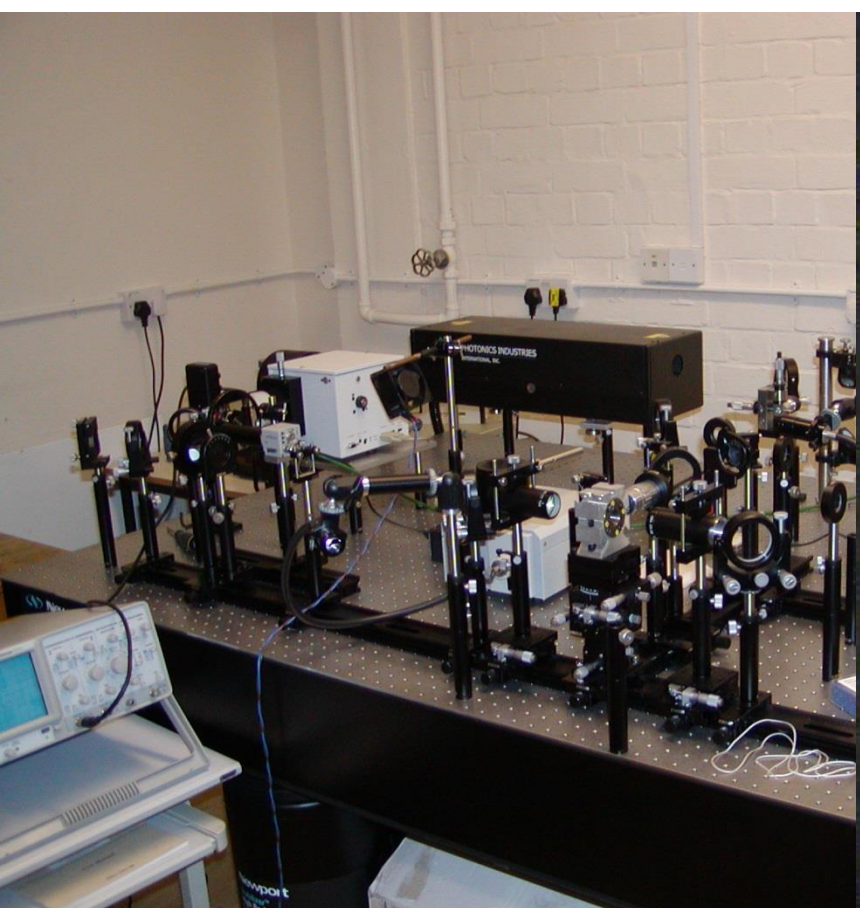
Stålpackning



3 cm



Laser-varming av prøve i diamantcelle, Univ. of Bristol



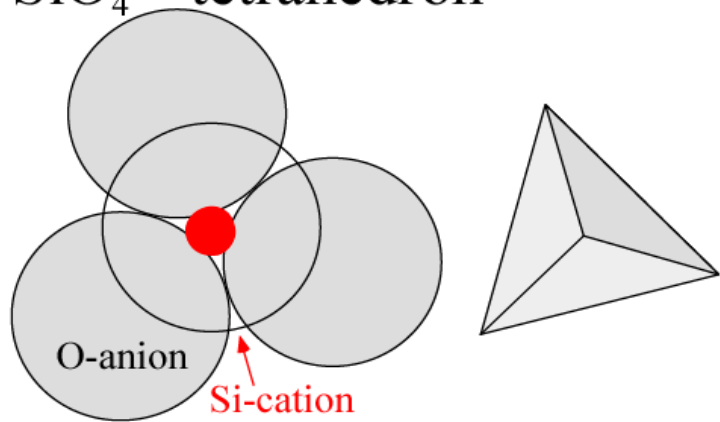
High-pressure adjustments of crystal structures:

- anions compressed more than cations – decreasing size difference
- may lead to increasing coordination number

Building blocks for silicates

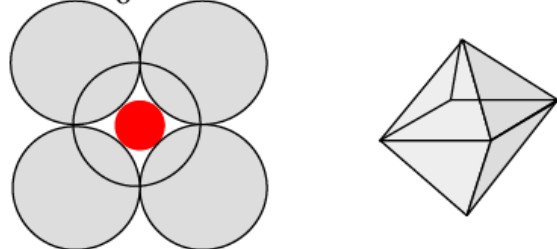
Crust and upper mantle (low p)

SiO_4^{4+} -tetrahedron



Lower mantle (high p)

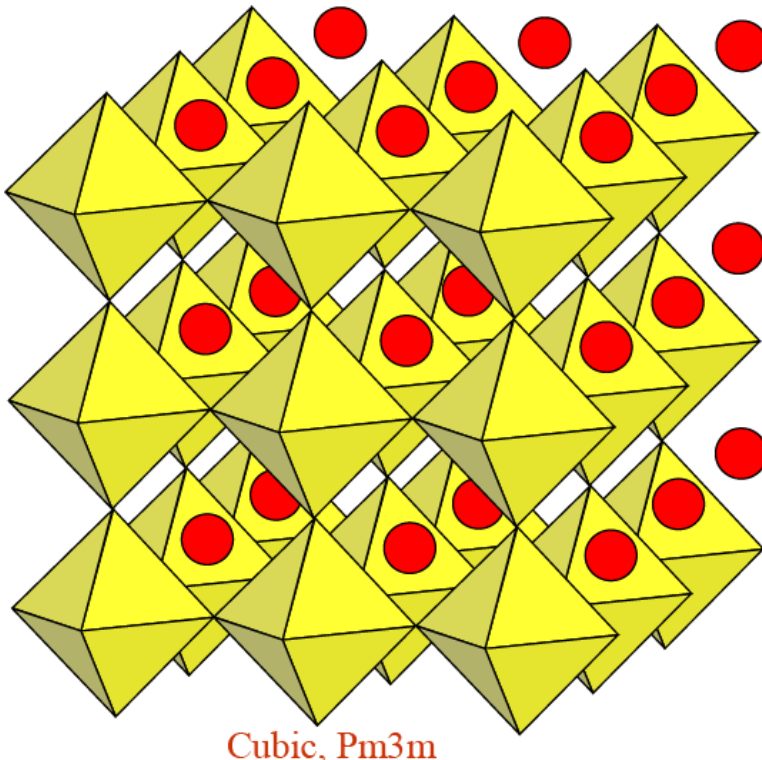
SiO_6^{8+} -octahedron



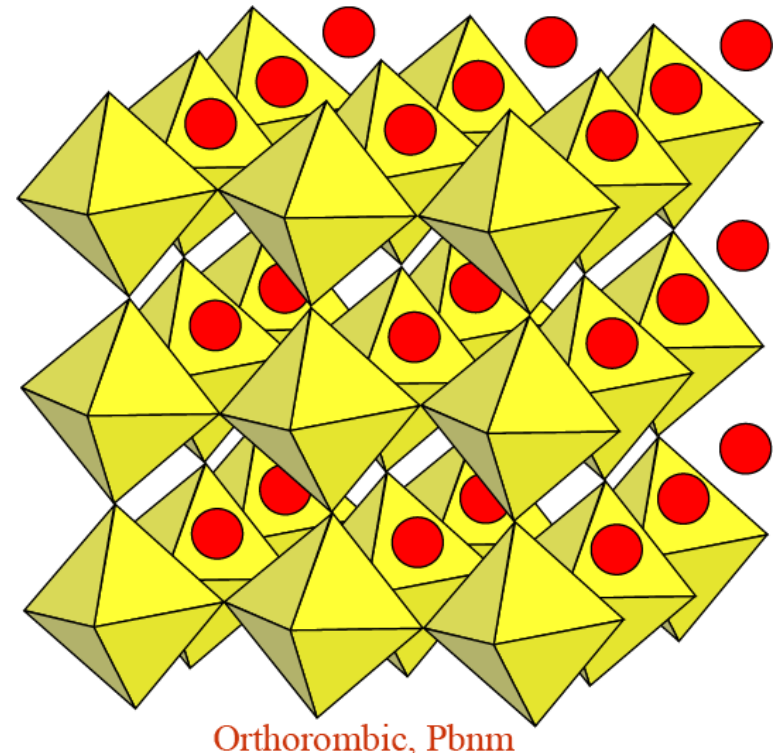
Perovskite-structured minerals: high coordination numbers - **high entropy**

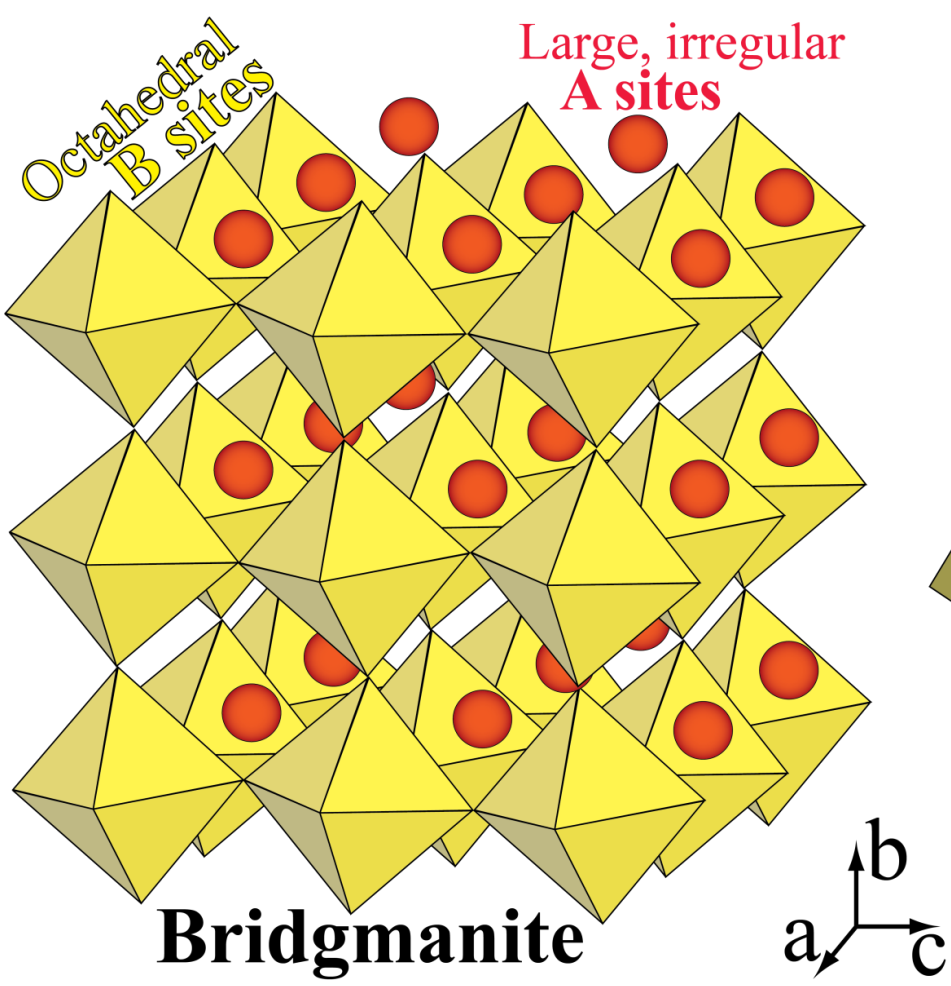
The perovskite structure: $A^{[12-8]} B^{[6]} O_3$

“Ideal”, undistorted structure with larger
divalent cation (Ca) in 12-coordination



Distorted structure with smaller divalent
cations (Mg, Fe) in 8-coordination

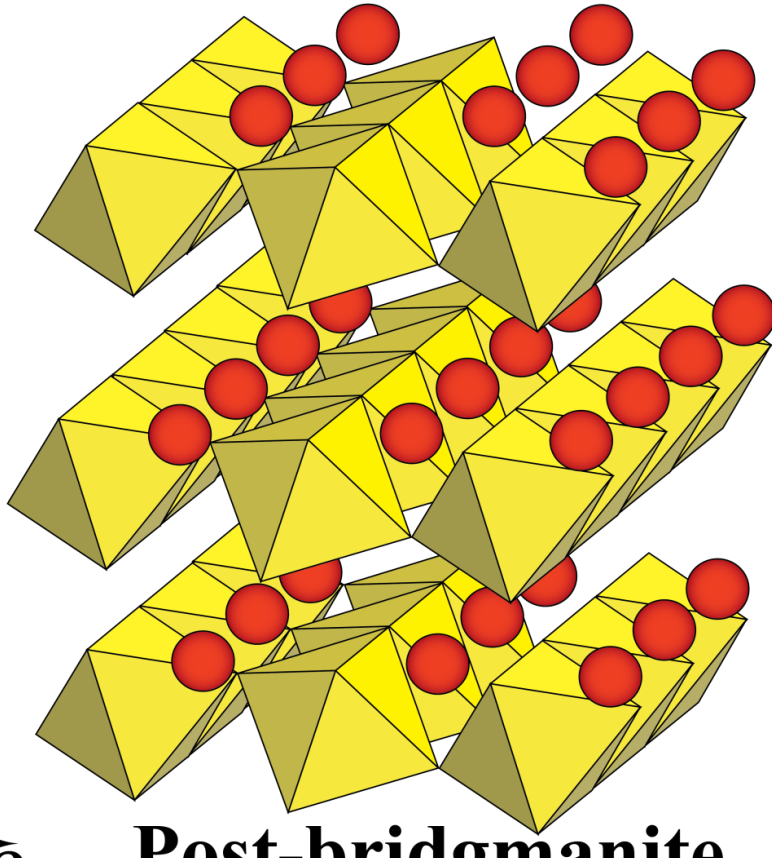




Orthorombic, Pbnm

Higher entropy and slightly lower density than post-bm

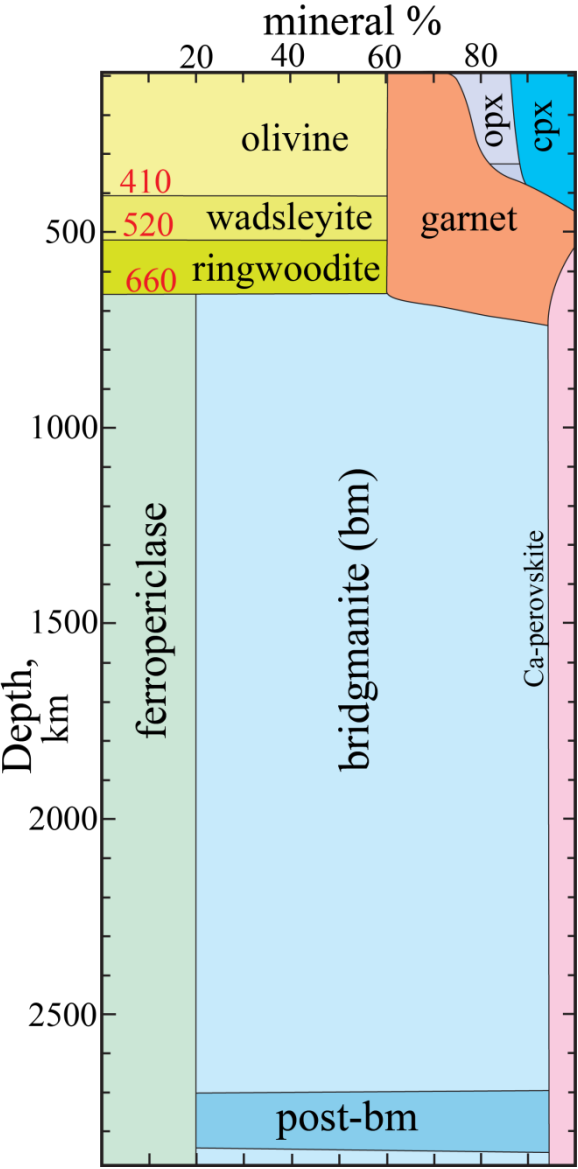
Corner-linked O-octahedra in all three directions



Orthorombic, Cmcm

- edge-linked O-octahedra along the a-axis
- a-c sheet-like units with a more compressible b-axis

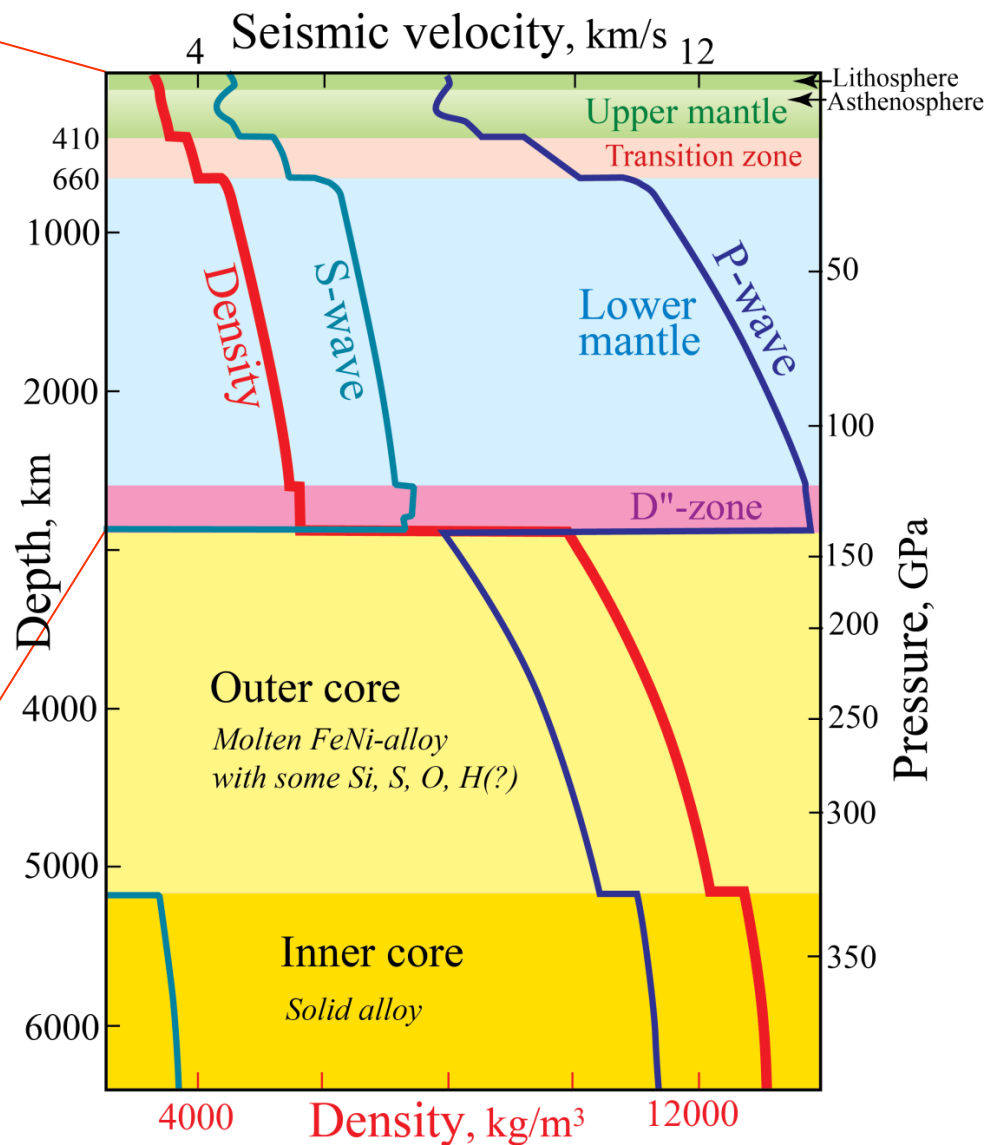
Average mantle peridotite



First-order Earth structure

PREM, Preliminary Reference Earth Model

- from **seismology** (normal modes) and **gravity**
- includes ρ , p , v_s , v_p

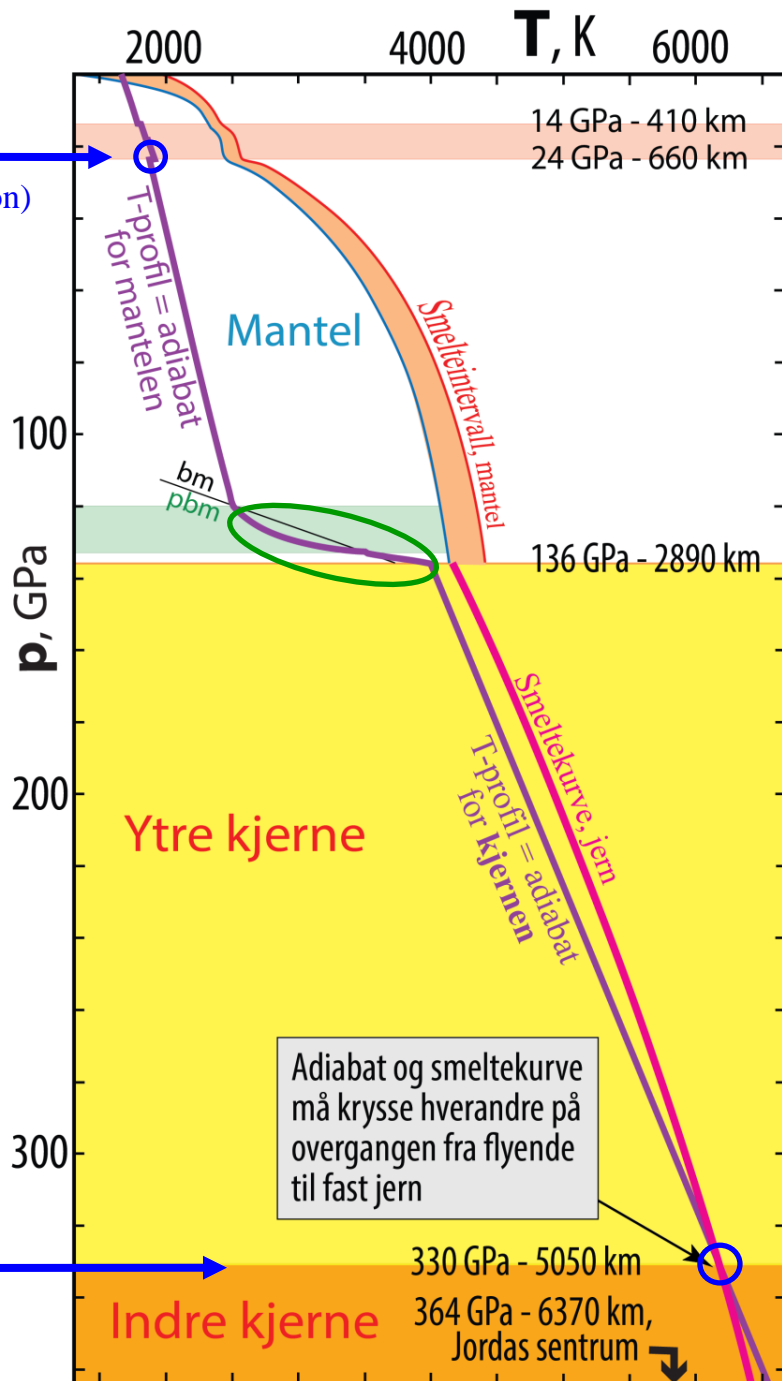


First-order constraints on temperature

660 km: Reaksjonen **ringwooditt = bridgmanitt+ferroperiklas**
ved 24 GPa, 1900 K (endotermisk faseovergang: adiabatisk T-reduksjon)

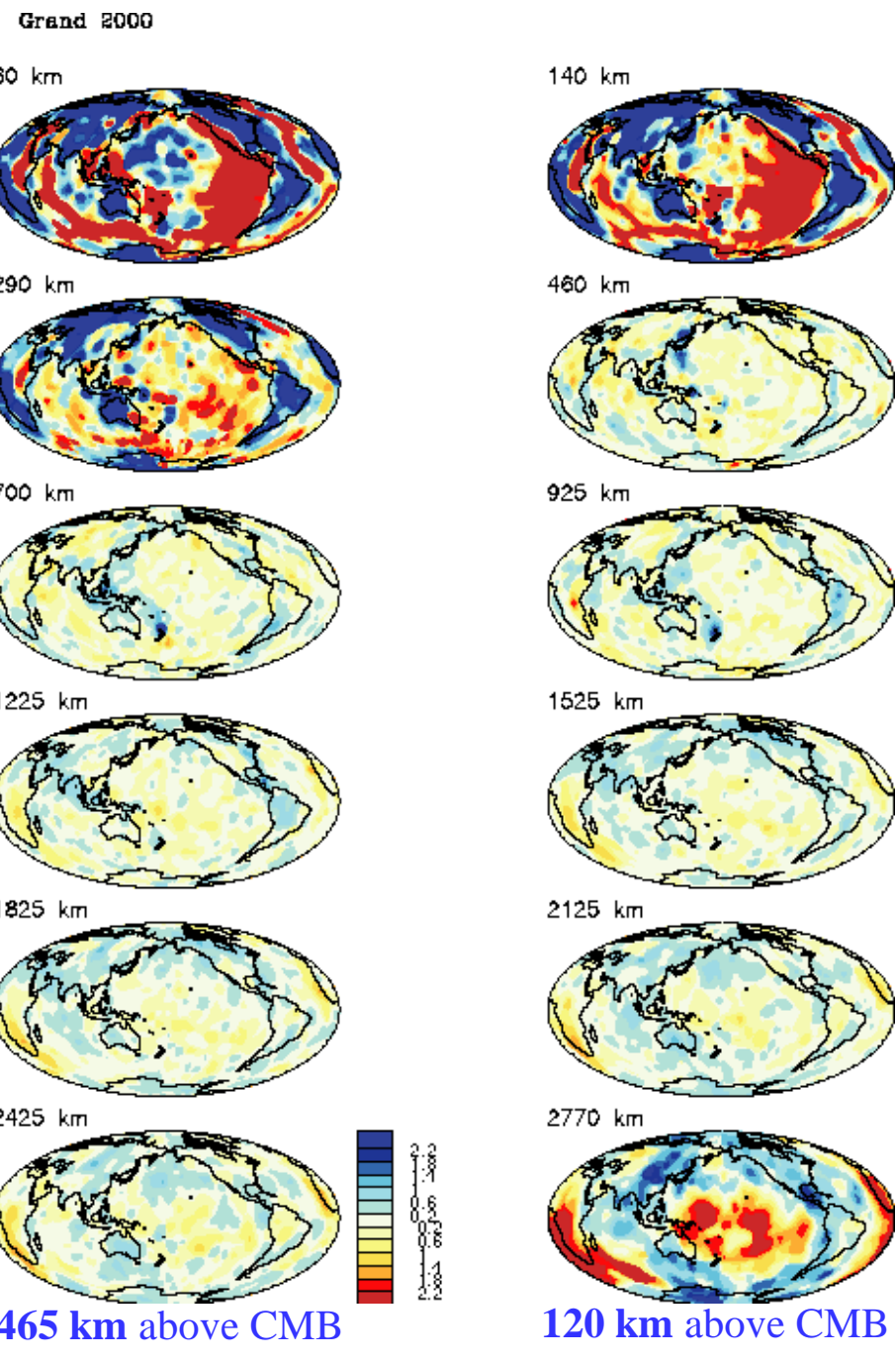
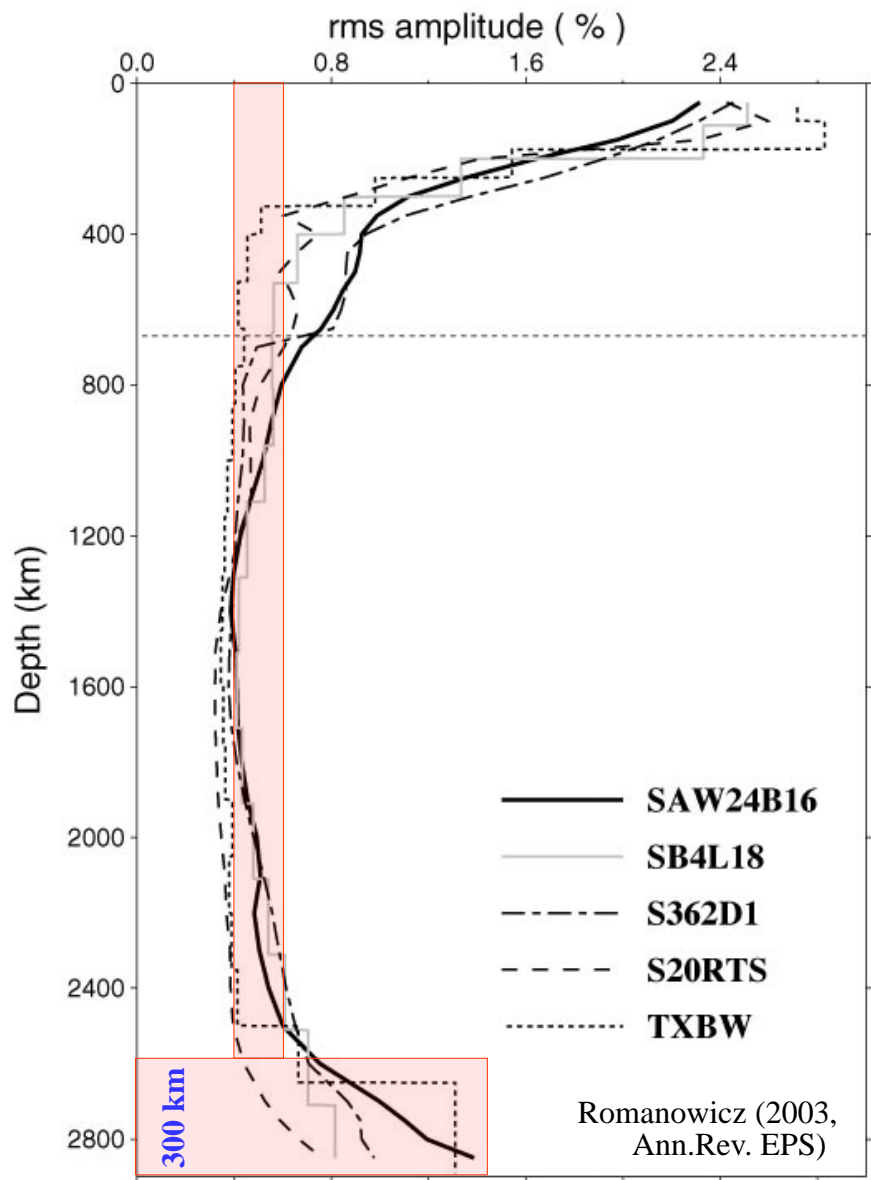
CMB: extreme thermal boundary layer !
2500 - 3800 K ! ($\Delta T: 1300K$)

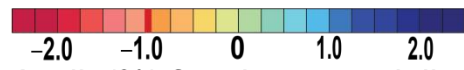
Indre-ytre kjernegrensen, 330 GPa / 5150 km:
Smelte-temperaturen til FeNi-legering



Seismic tomography models

Large v_s -amplitudes at the **top** and **bottom** of the mantle





Avvik (%) fra gjennomsnittlig skjærbølge-hastighet

Seismisk tomografi-modell: SMEAN

27 søylestrømmer fra D"-sonen

(fra French & Romanowicz, *Nature*, 2015)

 Gule symboler er 7 søylestrømmer med asymmetrisk kjemisk sonering.
3 svarte piler markerer fokusert innstrømming mot rotsonen i vertikale søylestrømmer.

